

Starkniederschlagshöhen und -spenden gemäß KOSTRA-DWD-2020

Rasterfeld 134203

(Zeile 134, Spalte 203)

Regenspende und Bemessungsniederschlagswerte in Abhängigkeit von Wiederkehrzeit T und Dauerstufe D

| Dauerstufe D | | Wiederkehrzeit T | | | | | | | | | | | | | | | | | |
|--------------|-----|------------------|------------|------|------------|------|------------|------|------------|-------|------------|-------|------------|-------|------------|-------|------------|-------|------------|
| | | 1 a | | 2 a | | 3 a | | 5 a | | 10 a | | 20 a | | 30 a | | 50 a | | 100 a | |
| min | Std | mm | l / (s ha) | mm | l / (s ha) | mm | l / (s ha) | mm | l / (s ha) | mm | l / (s ha) | mm | l / (s ha) | mm | l / (s ha) | mm | l / (s ha) | mm | l / (s ha) |
| 5 | | 6,1 | 203,3 | 7,7 | 256,7 | 8,8 | 293,3 | 10,1 | 336,7 | 12,1 | 403,3 | 14,1 | 470,0 | 15,4 | 513,3 | 17,1 | 570,0 | 19,6 | 653,3 |
| 10 | | 8,4 | 140,0 | 10,8 | 180,0 | 12,2 | 203,3 | 14,1 | 235,0 | 16,8 | 280,0 | 19,6 | 326,7 | 21,5 | 358,3 | 23,9 | 398,3 | 27,4 | 456,7 |
| 15 | | 9,9 | 110,0 | 12,7 | 141,1 | 14,4 | 160,0 | 16,6 | 184,4 | 19,8 | 220,0 | 23,1 | 256,7 | 25,3 | 281,1 | 28,1 | 312,2 | 32,2 | 357,8 |
| 20 | | 11,0 | 91,7 | 14,1 | 117,5 | 15,9 | 132,5 | 18,4 | 153,3 | 22,0 | 183,3 | 25,6 | 213,3 | 28,0 | 233,3 | 31,2 | 260,0 | 35,7 | 297,5 |
| 30 | | 12,6 | 70,0 | 16,1 | 89,4 | 18,2 | 101,1 | 21,1 | 117,2 | 25,1 | 139,4 | 29,3 | 162,8 | 32,1 | 178,3 | 35,7 | 198,3 | 40,8 | 226,7 |
| 45 | | 14,3 | 53,0 | 18,2 | 67,4 | 20,6 | 76,3 | 23,8 | 88,1 | 28,4 | 105,2 | 33,2 | 123,0 | 36,3 | 134,4 | 40,4 | 149,6 | 46,2 | 171,1 |
| 60 | 1 | 15,5 | 43,1 | 19,8 | 55,0 | 22,4 | 62,2 | 25,9 | 71,9 | 30,9 | 85,8 | 36,0 | 100,0 | 39,4 | 109,4 | 43,8 | 121,7 | 50,2 | 139,4 |
| 90 | 1,5 | 17,3 | 32,0 | 22,1 | 40,9 | 25,1 | 46,5 | 28,9 | 53,5 | 34,5 | 63,9 | 40,3 | 74,6 | 44,1 | 81,7 | 49,0 | 90,7 | 56,1 | 103,9 |
| 120 | 2 | 18,7 | 26,0 | 23,9 | 33,2 | 27,1 | 37,6 | 31,3 | 43,5 | 37,3 | 51,8 | 43,5 | 60,4 | 47,6 | 66,1 | 53,0 | 73,6 | 60,6 | 84,2 |
| 180 | 3 | 20,8 | 19,3 | 26,5 | 24,5 | 30,1 | 27,9 | 34,7 | 32,1 | 41,5 | 38,4 | 48,4 | 44,8 | 52,9 | 49,0 | 58,9 | 54,5 | 67,4 | 62,4 |
| 240 | 4 | 22,4 | 15,6 | 28,6 | 19,9 | 32,4 | 22,5 | 37,4 | 26,0 | 44,6 | 31,0 | 52,1 | 36,2 | 57,0 | 39,6 | 63,4 | 44,0 | 72,5 | 50,3 |
| 360 | 6 | 24,8 | 11,5 | 31,6 | 14,6 | 35,9 | 16,6 | 41,4 | 19,2 | 49,4 | 22,9 | 57,7 | 26,7 | 63,1 | 29,2 | 70,2 | 32,5 | 80,4 | 37,2 |
| 540 | 9 | 27,5 | 8,5 | 35,0 | 10,8 | 39,7 | 12,3 | 45,9 | 14,2 | 54,7 | 16,9 | 63,9 | 19,7 | 69,9 | 21,6 | 77,7 | 24,0 | 88,9 | 27,4 |
| 720 | 12 | 29,5 | 6,8 | 37,6 | 8,7 | 42,7 | 9,9 | 49,3 | 11,4 | 58,8 | 13,6 | 68,6 | 15,9 | 75,0 | 17,4 | 83,5 | 19,3 | 95,5 | 22,1 |
| 1080 | 18 | 32,6 | 5,0 | 41,6 | 6,4 | 47,2 | 7,3 | 54,5 | 8,4 | 65,0 | 10,0 | 75,9 | 11,7 | 83,0 | 12,8 | 92,3 | 14,2 | 105,6 | 16,3 |
| 1440 | 24 | 35,0 | 4,1 | 44,7 | 5,2 | 50,6 | 5,9 | 58,5 | 6,8 | 69,8 | 8,1 | 81,4 | 9,4 | 89,1 | 10,3 | 99,1 | 11,5 | 113,4 | 13,1 |
| 2880 | 48 | 41,5 | 2,4 | 53,0 | 3,1 | 60,0 | 3,5 | 69,4 | 4,0 | 82,8 | 4,8 | 96,6 | 5,6 | 105,6 | 6,1 | 117,5 | 6,8 | 134,5 | 7,8 |
| 4320 | 72 | 45,9 | 1,8 | 58,5 | 2,3 | 66,3 | 2,6 | 76,6 | 3,0 | 91,4 | 3,5 | 106,7 | 4,1 | 116,7 | 4,5 | 129,8 | 5,0 | 148,6 | 5,7 |
| 5760 | 96 | 49,2 | 1,4 | 62,8 | 1,8 | 71,2 | 2,1 | 82,2 | 2,4 | 98,1 | 2,8 | 114,5 | 3,3 | 125,2 | 3,6 | 139,3 | 4,0 | 159,4 | 4,6 |
| 7200 | 120 | 52,0 | 1,2 | 66,3 | 1,5 | 75,2 | 1,7 | 86,8 | 2,0 | 103,6 | 2,4 | 120,9 | 2,8 | 132,3 | 3,1 | 147,1 | 3,4 | 168,4 | 3,9 |
| 8640 | 144 | 54,4 | 1,0 | 69,3 | 1,3 | 78,6 | 1,5 | 90,8 | 1,8 | 108,4 | 2,1 | 126,5 | 2,4 | 138,3 | 2,7 | 153,8 | 3,0 | 176,1 | 3,4 |
| 10080 | 168 | 56,5 | 0,9 | 72,0 | 1,2 | 81,7 | 1,4 | 94,3 | 1,6 | 112,5 | 1,9 | 131,3 | 2,2 | 143,6 | 2,4 | 159,8 | 2,6 | 182,9 | 3,0 |

Starkniederschlagshöhen und -spenden gemäß KOSTRA-DWD-2020

Rasterfeld 134203

(Zeile 134, Spalte 203)

Örtliche Unsicherheiten in Abhängigkeit von Wiederkehrzeit T und Dauerstufe D

| Dauerstufe D | | Wiederkehrzeit T | | | | | | | | |
|--------------|-----|------------------|-----|-----|-----|------|------|------|------|-------|
| | | 1 a | 2 a | 3 a | 5 a | 10 a | 20 a | 30 a | 50 a | 100 a |
| min | Std | ± % | ± % | ± % | ± % | ± % | ± % | ± % | ± % | ± % |
| 5 | | 13 | 13 | 13 | 13 | 13 | 14 | 14 | 14 | 15 |
| 10 | | 12 | 14 | 15 | 16 | 17 | 18 | 18 | 19 | 19 |
| 15 | | 14 | 16 | 17 | 18 | 19 | 20 | 21 | 21 | 22 |
| 20 | | 15 | 18 | 19 | 20 | 21 | 22 | 22 | 23 | 24 |
| 30 | | 17 | 19 | 20 | 21 | 23 | 23 | 24 | 25 | 25 |
| 45 | | 17 | 20 | 21 | 22 | 23 | 24 | 25 | 25 | 26 |
| 60 | 1 | 18 | 20 | 21 | 22 | 24 | 25 | 25 | 26 | 26 |
| 90 | 1,5 | 17 | 20 | 21 | 22 | 23 | 24 | 25 | 26 | 26 |
| 120 | 2 | 17 | 20 | 21 | 22 | 23 | 24 | 25 | 25 | 26 |
| 180 | 3 | 16 | 19 | 20 | 21 | 22 | 23 | 24 | 24 | 25 |
| 240 | 4 | 16 | 18 | 19 | 21 | 22 | 23 | 23 | 24 | 24 |
| 360 | 6 | 15 | 17 | 19 | 20 | 21 | 22 | 22 | 23 | 23 |
| 540 | 9 | 15 | 17 | 18 | 19 | 20 | 21 | 21 | 22 | 22 |
| 720 | 12 | 14 | 16 | 17 | 18 | 19 | 20 | 21 | 21 | 22 |
| 1080 | 18 | 14 | 16 | 17 | 18 | 19 | 20 | 20 | 21 | 21 |
| 1440 | 24 | 14 | 16 | 16 | 17 | 18 | 19 | 20 | 20 | 21 |
| 2880 | 48 | 15 | 16 | 16 | 17 | 18 | 19 | 19 | 19 | 20 |
| 4320 | 72 | 15 | 16 | 17 | 17 | 18 | 19 | 19 | 19 | 20 |
| 5760 | 96 | 16 | 17 | 17 | 18 | 18 | 19 | 19 | 19 | 20 |
| 7200 | 120 | 17 | 17 | 17 | 18 | 18 | 19 | 19 | 19 | 20 |
| 8640 | 144 | 18 | 18 | 18 | 18 | 19 | 19 | 19 | 20 | 20 |
| 10080 | 168 | 18 | 18 | 18 | 19 | 19 | 19 | 20 | 20 | 20 |

Parameter für abweichende T und D

Lokationsparameter ξ (Xi)

16,11755227

Skalenparameter α (Alpha)

6,17084757

Formparameter κ (Kappa)

-0,1

1. Koutsoyiannis-Parameter θ (Theta)

0,05247367

2. Koutsoyiannis-Parameter η (Eta)

0,75512565

Parameter für dauerstufenübergreifende Extremwertschätzung nach KOUTSOYIANNIS et al. 1998.

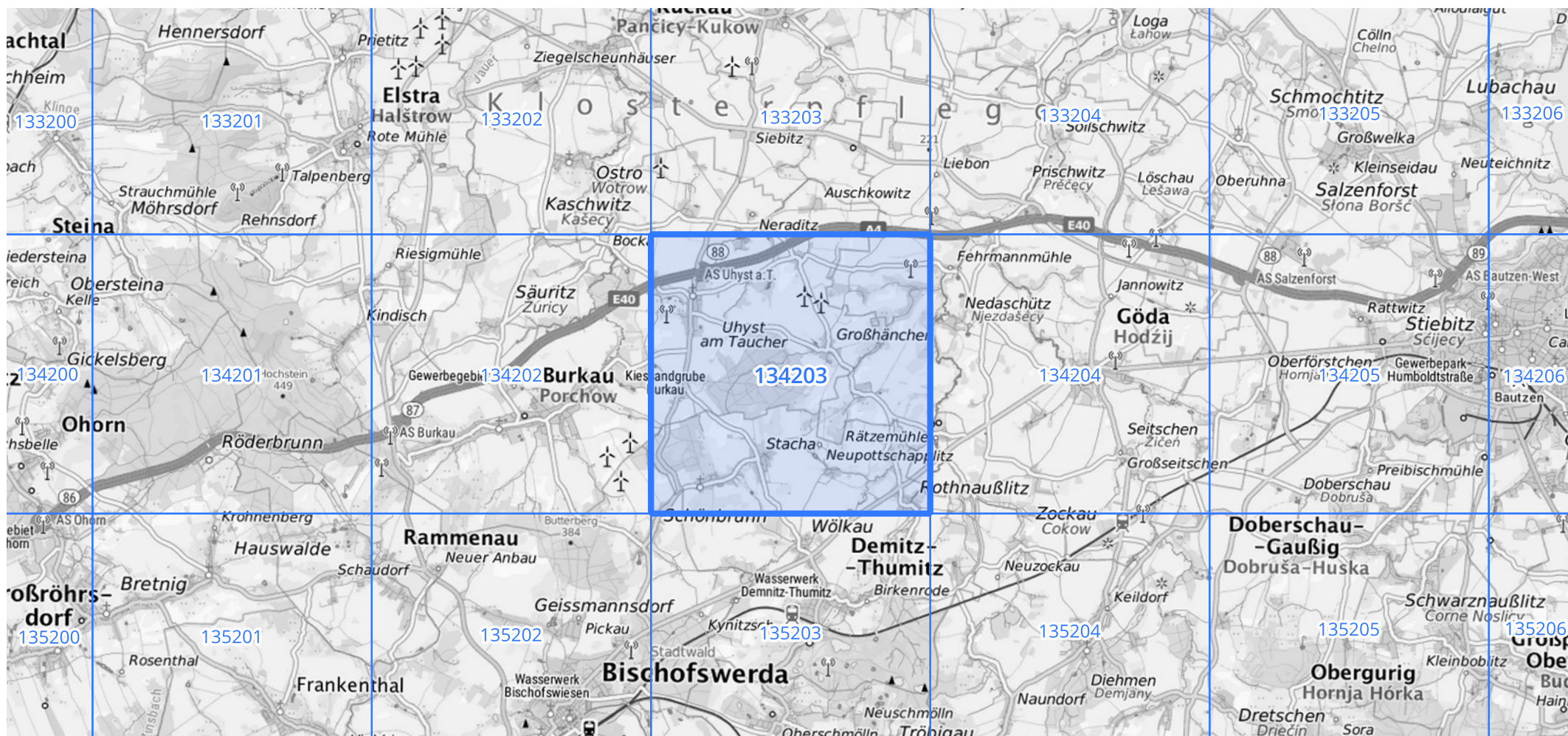
Siehe auch Anwendungshilfe zu KOSTRA-DWD-2020 des Deutschen Wetterdienstes.

Starkniederschlagshöhen und -spenden gemäß KOSTRA-DWD-2020

Rasterfeld 134203

(Zeile 134, Spalte 203)

Übersichtskarte des Rasterfeldes 134203, M 1 : 100 000



Quelle Rasterdaten: KOSTRA-DWD-2020 des Deutschen Wetterdienstes, Stand 12/2022.

Seite 3 von 3

Kartendarstellung: © Bundesamt für Kartographie und Geodäsie (2023), Datenquellen: https://sgx.geodatenzentrum.de/web_public/gdz/datenquellen/Datenquellen_TopPlusOpen.html

Für die Richtigkeit und Aktualität der Angaben wird keine Gewähr übernommen. Erstellt 01/2023.